

熊本大学 工学部 正員 三池亮次
○ 熊本大学 工学部 学生員 田中重範

1. 集合

水圧荷重を受けるアーチダムのたわみおよび応力の無次元量 $E_{\text{c}} \delta / wH_0$, σ / wH_0 のアーチ剛度あるいは片持せり剛度を表す無次元パラメータ $-\frac{T_0}{T_c}, \frac{T_0}{H_0}$ に対する挙動特性については、すでに筆者一人が解析を行った。(E_c :コンクリート弾性係数, w :水の単位体積重量, H_0 :ダム高, T_0 :クラウランク厚, T_c :標準標準アーチ厚, δ :標準標準アーチ角)

ひき続き、堤体平均温度上昇および温度こう配を堤体に生じたアーチダムのたわみおよび応力の無次元量の説明と、それと $\frac{T_0}{T_c}, \frac{T_0}{H_0}$ に対する性状についての研究成果を報告する。なお、アーチダムの形状を示す中心角比および谷形比は、前回報告の場合と同じく、定角アーチダムについては横北ダム、定半径アーチダムとしては鳴子ダムの値を使用した。

2. 理論

堤体平均温度変化を生じたアーチダムのクラウランク片持せり要素の下流方向たわみを $a_{\text{ct}} \delta$ 、配分荷重を $a_{\text{ct}} P$ 、flexibility マトリックスを cF とすれば(マトリックスの要素の添字は上より下へとられた標準番号を表す)

$$a_{\text{ct}} \delta = cF a_{\text{ct}} P \quad (1)$$

より、アーチ要素のたわみ $a_{\text{ct}} \delta$ は C_c をコンクリートの膨脹係数、 $a_{\text{ct}} F$ をアーチ要素の堤体平均温度変化量に対する flexibility マトリックス、 $a_{\text{ct}} P$ をアーチの配分荷重とするとき、

$$a_{\text{ct}} \delta = a_{\text{ct}} F a_{\text{ct}} P - a_{\text{ct}} F \quad (2)$$

$$\text{ただし} \quad a_{\text{ct}} \delta = \begin{bmatrix} a_{\text{ct}} \delta_1 \\ a_{\text{ct}} \delta_2 \\ \vdots \\ a_{\text{ct}} \delta_n \end{bmatrix}, \quad a_{\text{ct}} P = \begin{bmatrix} a_{\text{ct}} P_1 \\ a_{\text{ct}} P_2 \\ \vdots \\ a_{\text{ct}} P_n \end{bmatrix}, \quad cF = \begin{bmatrix} cF_{11} & cF_{12} & \cdots & cF_{1n} \\ cF_{21} & cF_{22} & \cdots & cF_{2n} \\ \vdots & \vdots & \ddots & \vdots \\ cF_{n1} & cF_{n2} & \cdots & cF_{nn} \end{bmatrix}, \quad a_{\text{ct}} F = \begin{bmatrix} a_{\text{ct}} F_{11} & 0 \\ a_{\text{ct}} F_{21} & 0 \\ \vdots & \vdots \\ 0 & a_{\text{ct}} F_{nn} \end{bmatrix}, \quad a_{\text{ct}} F = \begin{bmatrix} a_{\text{ct}} \delta_1 \\ a_{\text{ct}} \delta_2 \\ \vdots \\ a_{\text{ct}} \delta_n \end{bmatrix}, \quad \Delta t = \begin{bmatrix} \Delta t_1 \\ \Delta t_2 \\ \vdots \\ \Delta t_n \end{bmatrix} \quad (3)$$

かるに、もし温度荷重に対してアーチクラウランクティヤレバー法が適用されるものとすれば、

$$a_{\text{ct}} \delta = a_{\text{ct}} P \equiv a_{\text{ct}} \delta \quad (4)$$

であるから

$$(cF + a_{\text{ct}} F) a_{\text{ct}} P = -a_{\text{ct}} F \quad (5)$$

$$\therefore a_{\text{ct}} P = -a_{\text{ct}} F = -(cF + a_{\text{ct}} F)^{-1} a_{\text{ct}} F \quad (5)$$

$$a_{\text{ct}} \delta = -cF(cF + a_{\text{ct}} F)^{-1} a_{\text{ct}} F = -(aK^{-1} cF + I)^{-1} a_{\text{ct}} F \quad (6)$$

である。

(3)式における $a_{\text{ct}} F$ の各要素 $a_{\text{ct}} \delta_i$ を $\frac{a_{\text{ct}} \delta_i}{C_c a_{\text{ct}} T_i}$ と無次元表示し、厚さと温度の関係式²⁾

$$\Delta t_i = \frac{100}{T_i}, \quad T_i > 5m \quad (7)$$

を使用すれば、 $a_{\text{ct}} F$ の要素の無次元たわみとして $\frac{a_{\text{ct}} \delta_i}{100 C_c}$ が計算される。さらに F , \bar{F} の各要素に $E_c \delta_i$ を用いれば、配分荷重の要素は $\frac{a_{\text{ct}} P_i}{100 C_c E_c}$ なる無次元量として求められる。したがって等分布荷重の無次元量と i の $a_{\text{ct}} P_i / 100 C_c E_c / H_0$ を得ることができる。応力は $\frac{\sigma}{100 C_c E_c H_0}$ なる無次元量と i の表わせられる。

ただし 100 はメートルの次元を持つ。

また アーチゲムのアーチ要素における応力 $\alpha_{\text{ad}} \delta$ は片持ばかり抵抗を受けるアーチ応力 $\alpha_{\text{ad}} \delta$ と片持ばかり抵抗による応力 $\alpha_{\text{ad}} \delta$ の和である。

$$\alpha_{\text{ad}} \delta = \alpha_{\text{ad}} \delta + \alpha_{\text{ad}} \delta \quad (8)$$

温度こう配を堤体に生じたアーチのたわみ量はきわめて小さいが、片持ばかりのたわみは無視することはできない。基底よりの高さ z_i の微小部分毎に温度こう配 Δz を生じた片持ばかりの高さ z_i 点における下たわみは下流方向を正にとると、

$$c\delta_{ij}' = -c\delta_{ij} \Delta z (z_i - z_j) \equiv c\delta_{ij} \Delta z c\delta_{ij} \quad (9)$$

ただし

$$z_i > z_j$$

であり温度こう配について次の flexibility マトリクス

$$c\delta F = \begin{bmatrix} 0 & c\delta_{11} & c\delta_{12} & \cdots & c\delta_{1n} \\ 0 & c\delta_{21} & c\delta_{22} & \cdots & c\delta_{2n} \\ 0 & 0 & c\delta_{32} & \cdots & c\delta_{3n} \\ \vdots & & & \ddots & \\ 0 & & & & c\delta_{nn} \end{bmatrix} \quad (10)$$

を定義すれば、温度こう配を生じたアーチダムのクラウン片持ばかりのたわみは

$$\alpha \delta = c\delta F c\delta P + c\delta F c\delta \Delta z \quad (11)$$

アーチクラウンのたわみは

$$\alpha \delta = c\delta F c\delta P \quad (12)$$

ただし $c\delta P$, $c\delta P$ はこの場合の片持ばかり、アーチの配分荷重であり、両配分荷重によるたわみを等しく $\alpha \delta$ とおくことにする

$$(c\delta F + c\delta F) c\delta P = c\delta \Delta z c\delta F \quad \therefore c\delta P = -c\delta \Delta z (c\delta F + c\delta F)^{-1} c\delta F c\delta P = -c\delta P \quad (13)$$

$$\begin{aligned} \alpha \delta &= c\delta F c\delta \Delta z (c\delta F + c\delta F)^{-1} c\delta F c\delta P = c\delta \Delta z (c\delta F + c\delta F)^{-1} c\delta F c\delta P \\ &= c\delta \Delta z (c\delta K + c\delta I)^{-1} c\delta F c\delta P \end{aligned} \quad (14)$$

(10)式における $c\delta_{ij}'$ と 12 次の無次元量

$$-\left(\frac{z_i}{H_0} - \frac{z_j}{H_0}\right) = -(\eta_i - \eta_j) \quad (15)$$

を用い、温度こう配と厚さの関係式より得られる次式(下流側温度から上流側温度より大きい温度こう配を正とする)

$$c\delta = \frac{16}{H_0} \begin{bmatrix} \frac{1}{T_1} \\ \frac{1}{T_2} \\ \vdots \\ \frac{1}{T_n} \end{bmatrix} \equiv \frac{16}{H_0} \alpha \delta, \quad (16)$$

および $\Delta z = \frac{H_0}{n}$ の関係式を(14)式に代入し、たわみを無次元表示すれば

$$\frac{c\delta P}{16c\delta H_0} = \frac{1}{n} \{(I + c\delta K)^{-1} c\delta F c\delta P\} \quad (17)$$

またさらに $c\delta F$, $c\delta F$ の要素と 12 $F_c \delta$ を用いると、配分荷重の無次元量

$$\frac{c\delta P}{16c\delta F_c} = \{(c\delta F + c\delta F)^{-1} c\delta F c\delta P\} \quad (18)$$

無次元応力 $\frac{c\delta P}{16c\delta F_c}$ のクラウンおよびアバットメントにおける値もまた、堤体平均温度の場合と同様にして説明することができます。

3 電子計算と考察

堤体平均温度上昇の場合

配分荷重 一般にアーチ剛度 $\frac{H_0}{L}$ が大きいほど配分荷重は小さくなる。片持ばかり剛度 $\frac{H_0}{L}$ が小さいほどでは、上部配分荷重は小さくなる。

片持ばかり剛度 $\frac{H_0}{L}$ が小さいほどでは、上部配分荷重は大きめで小さめが、 $\frac{H_0}{L}$ が大きくなるにしたがって上部配分荷重は大きくなる。アーチに作用する配分荷重は一般に下流側に向かって作用するが、 $\frac{H_0}{L}$ が大きい場合には中間標高において上流側の配分荷重が生ずる。(図-1)

たわみ 図2にみられるようにアーチクラウチングの標高に対するたわみの変化率は上部において急変する上に凸なるたわみ曲線であることは水圧荷重の場合と異る。また $\frac{H_0}{L}$ が一定のときはアーチ剛度 $\frac{H_0}{L}$ が大きいほどたわみは小さくなる。

片持ばかり応力 堤体平均温度上昇により、クラウチング下流側には引張応力が生じ、上、下流面応力は互いに反対方向で絶対値は近似的に等しい。片持ばかり剛度 $\frac{H_0}{L}$ が小さい場合は、上部では片持ばかり配分荷重は小さく、片持ばかり応力も小さいが、下部では配分荷重が大きくなり、片持ばかり応力も大きくなる。また $\frac{H_0}{L}$ が大きいほど片持ばかり配分荷重は小さくなるから応力も小さくなる。片持ばかり剛度 $\frac{H_0}{L}$ が大きくなると、上部では片持ばかり配分荷重が大きくなり、したがって応力も大きくなるが、下部では配分荷重が小さくなり片持ばかり応力も小さくなる。(図-3)

アーチクラウチングの応力 単独アーチに堤体平均温度上昇が生ずる場合のアーチ外弧側応力は一般に負となるが、片持ばかり剛度 $\frac{H_0}{L}$ の大きい場合は、アーチの変形に対する抵抗が大きく、したがって外弧側応力が正となることがある。一般に片持ばかり剛度が大きいほど圧縮を正とする外弧側応力は大きくなる。内弧側応力は圧縮であり、下部アーチおよび $\frac{H_0}{L}$ の大きい上部アーチではこの傾向が逆転する。また片持ばかり剛度の大きい場合の内弧側応力は $\frac{H_0}{L}$ に逆比例し、片持ばかり剛度の小さい場合は $\frac{H_0}{L}$ に比例して大きくなる傾向を持つ。(図-4)

温度こう配の場合

配分荷重 図-5によって正の温度こう配に対する片持ばかり配分荷重は上部だけ下流側に向かって作用し、下部ではそのう向が逆転することが考察される。堤体平均温度上昇の場合とは逆にアーチ剛度 $\frac{H_0}{L}$ が大

図-1 堤体平均温度上昇を受ける場合の配分荷重

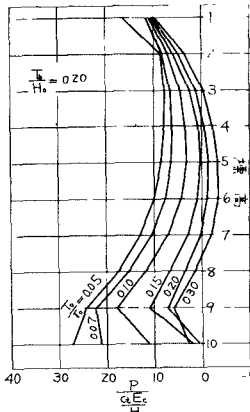


図-2 堤体平均温度上昇によるアーチクラウチングたわみ

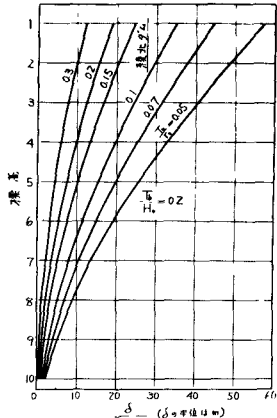


図-3 堤体平均温度上昇によるアーチクラウチング片持ばかりの下流側応力

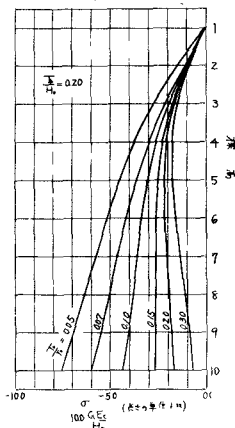
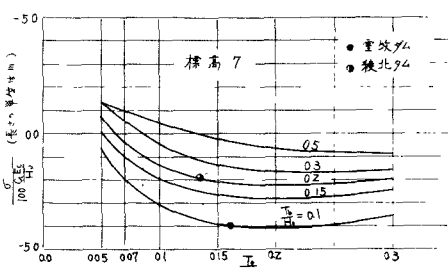


図-4 堤体平均温度上昇によるアーチクラウチング外弧側応力



まく下るほど配分荷重の絶対値は大きくなる。これは温度こう配による片持ばかりのたわみに対するアーチ要素の抵抗が、アーチ剛度が大きいほど大きくなるためと考えられる。

正のひずみ 図-6にみられるように正の温度こう配によるアーチクラウンのたわみは、上部で上流方向に、下部で下流方向にたわむ。またアーチ剛度 E_c が大きくなるほど、温度こう配による片持ばかりのたわみに対するアーチの抵抗が大きくなり、たわみは小さくなる。

アーチクラウンの外、内圧側応力 温度こう配に対する配分荷重は小さいから、この場合の応力は単独アーチに温度こう配が生ずる場合の応力に直線的に等しくなるはずである。したがって片持ばかり剛度 E_c の増減によるアーチ応力の変動は小さく、正の温度こう配による外圧側応力は負となり、内圧側応力は正となる。また両側の応力の絶対値は高が大きくなるほど一般に小さくなる。

片持ばかり応力 正の温度こう配に対しても片持ばかりの下流側応力は常に正となる。図-6にみられるように $\frac{H_0}{L}$ を一定にして $\frac{E_c}{H_0}$ を増せば応力は上部で増加し、下部で減少するが、 $\frac{E_c}{H_0}$ が0.2以上ではほとんど大部分の標高で $\frac{E_c}{H_0}$ と比例して応力は大きくなると考えてよい。これはアーチ剛度 E_c が増せば上部片持ばかりにかかる配分荷重が大きくなるためである。また $\frac{E_c}{H_0}$ を一定にして片持ばかり剛度 E_c を増せば片持ばかり応力は小さくなる。いづれにても温度こう配による片持ばかり応力は小さい。

4 結 論

(1) 提体平均温度、温度こう配の荷重に対するアーチダムのたわみ、応力、配分荷重の無次元量 $\alpha\delta/100G_c$, $\alpha\sigma/100G_cE_c/H_0$, $\alpha P/100G_cE_c/H_0$, $\alpha\delta/16G_cH_0$, $\alpha\sigma/16G_cE_c$, $\alpha P/16G_cE_c$ のアーチ剛度 E_c , 片持ばかり剛度 H_0 に対する挙動特性をアーチクラウンカンティレバー法により電子計算し考察した。

(2) 提体平均温度上昇によるたわみは H_0 、すなわちダムのスケールに関係ないが、温度こう配では H_0 と比例する。応力は前者が H_0 と並比するが、後者は無関係である。

参考文献

- 1) 三池亮次：「無次元解説法によるアーチダムのたわみおよび応力の挙動特性の研究」昭和41年土木学会西部支部研究発表会、昭和42年1月
- 2) 三池亮次：「荷重分割法によるアーチダムの設計」昭和41年土木学会西部支部夏季講習会テキスト、昭和41年8月

図-5 温度こう配に対する配分荷重

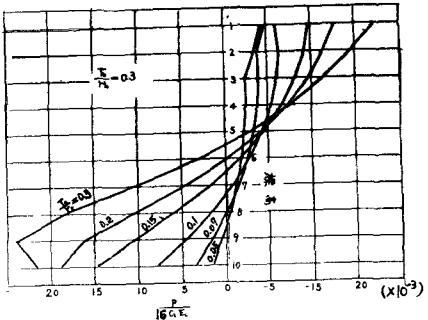


図-6 温度こう配に対するたわみ曲線

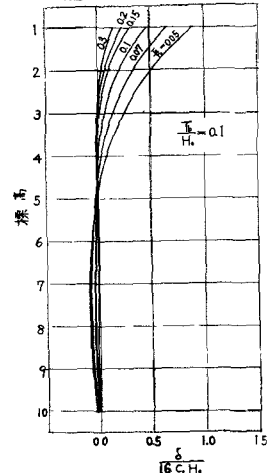


図-7 温度こう配に対するクラウン片持ばかりの下流側応力

